

微型计算机 数据采集器件

第二册

上

安徽省电子学会

第二册 目 录

29. CMOS12位微处理器兼容数一一模转换器AD 7542.....	225
30. 高性能12位集成电路数一一模转换器AD DAC85.....	235
31. CMOS12位单片乘法型数一一模转换器AD7541.....	249

第三部分 放大器

32. 精密运算放大器μA741	257
33. μAF771单、μAF772双、μAF774、四BI FET运算放大器系列.....	265
34. 低失调，低漂移双结型场效应管输入运算放大器LF412A/LA41	270
35. 低噪声单、双运算放大器NE5533/5533A, NE/SE5534/5534A.....	273
36. 内部补偿的低噪声双运算放大器NE/SE/5532/5532A	277
37. 高性能的四运算放大器HA——4602/4605.....	279
38. 宽带高性能四运算放大器HA4622/4625.....	281
39. 超低失调电压运算放大器AD OP—07	284
40. 宽带快速建立的单片运算放大器AM——450和AM——460系列.....	288
41. LH0032/LH0032C超高速FET运算放大器.....	291
42. 快建立的视频运算放大器HOS——05C, 050A	291
43. 高精度数据采仪用放大器AD522.....	296
44. 精密仪用放大器LM163/LM363	303
45. LH0084C数字式可编增益仪用放大器.....	304
46. 性能完备的仪用放大器LH0038/LH0038C.....	305
47. 斩波器稳零运算放大器IC1.7650.....	306
48. 斩波器稳零运算放大器HA——2900/04/05..	313
49. 斩波器稳零运算放大器AM——490——2.....	316
50. 变换式自稳零(CAz)运算放大器AM——7600, AM——7601	319
51. 高CMV/CMR±15浮动电源精密隔离放大器277.....	322
52. 经济、高性能、独立的隔离放大器284J.....	330

第四部分 电压/频率转换器

53. 集成电路电压/频率转换器——AD537.....	343
54. 高精度100KHz与1MHz电压/频率转换器——组件458、460.....	354
55单片廉价电压/频率转换器VFQ—1, VFQ—2, VFQ—3型	361

第五部分 CMOS开关与多路转换器

56. CMOS 4/8通道模拟多路转换器AD7501 AD7502 AD7503	365
57. CMOS 8 通道和16通道模拟多路器AD7506 AD7507.....	369
58. 模拟多路转换器/信号分离器8通道——MC1405 1B双4通道——MC 1405 2B 3组2通道——MC1405 3B	374
59. 有高阻输入保护的16通道CMOS模拟多路转换器——HI——1840.....	380
60. 有过压保护的16通道CMOS模拟多路转换器——HI506A/HI507A.....	384
61. 有过压保护的8通道CMOS模拟多路转换器——HI——508A/509A.....	388
62. 单16通道/双8通道CMOS高速模拟多路转换器——HI——516.....	391
63. 单8通道/双4通道高速模拟多路转换器——HI——518.....	395
64. 模拟开关(带保护)——AD7510DI, AD7511DI, AD7512DI.....	398
65. 单刀单掷双模拟开关(带保护)——ADG200.....	404
66. 单刀单掷双模拟开关——ADG201	408
67. 双单刀单掷CMOS模拟开关——HI——200	410
68. 四单刀单掷CMOS模拟开关——HI——201	413
69. CMOS模拟开关——HI——300/301, 302/303.....	416

第六部分 电压基准(参考)

70. 电压基准导言	420
71. ±0.5%2.5伏集成电路基准——AD580.....	421
72. ±1.2伏集成电路基准——AD589	427
73. 2.5伏精密集成电路电压基准——AD/1403/AD1403A.....	431
74. 土10伏精密电压基准——AD2700、AD2701, AD2702.....	434

CMOS12位微处理器兼容数一模转换器

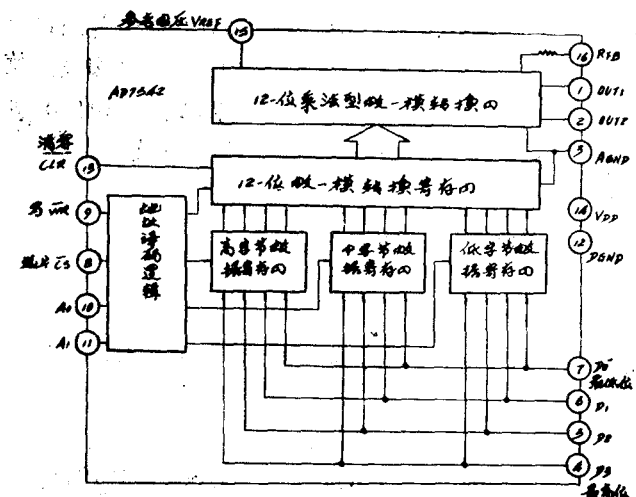
AD7542

特点 分辨率：12位；非线性： ± 1 LSB, T_{min}至T_{max}；低增益漂移；典型值2PPm/°C，最大值5PPm/°C；微处理器兼容；全四象限乘法；低乘法馈通；低功耗；最大值40mW；价格低廉；尺寸小；16脚双列直插式封装；无自锁（无须肖特基保护）。

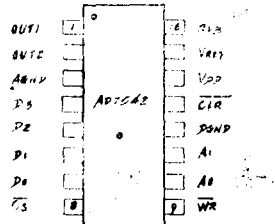
概述 AD7542是一种设计成与4或8位微处理器直接口的精密12位CMOS乘法数一模转换器，其功能图给出的AD7542是由三个4位数据寄存器，一个12位DAC寄存器，地址译码逻辑和一个12位CMOS乘法DAC组成，数据以三个4位字节方式装入数据寄存器，随后转送到12位DAC寄存器，全部数据输入或传送操作是和静态随机存取存储器（RAM）的写周期操作相同，当器件接通电源后，清零（clear）信号输入使DAC寄存器容易复位到全零。

AD7542是单片CMOS生产过程中，采用先进的薄膜工艺制造而成。其乘法特性，低功耗，工作电源+5V，尺寸小（16脚双列直插式），以及易与微处理器接口，因而使AD7542成为许多仪器和工业控制应用的理想元件。

功能图



管脚结构图



订货指南

温度范围和封装方式		
非线性 ± 1 LSB $\pm \frac{1}{2}$ LSB	塑料封装 0至70°C AD7542 JN AD7542 KN	陶瓷封装 -25°C至+85°C AD7542 AD AD7542 BD

技术规格

(除另有说明外, 均指 $V_{DD} = +5V$, $V_{REF} = +10V$; $V_{OUT_1} = V_{OUT_2} = 0V$)

参 数	极 限	极限 T_A	单 位	条件／注解
		$T_A = 25^\circ C$	T_{min}, T_{max}	
精度				
分辨率	12	12	BITS	
非线性				
AD7542 JN, AD	± 1	± 1	LSBmax	
AD7542 KN, BD	$\pm \frac{1}{2}$	$\pm \frac{1}{2}$	LSBmax	
差分非线性				
AD7542 JN, AD	± 2	± 2	LSBmax	在整个工作温度范围内, AD7542JN 和AD具有11位单调性。
AD7542 KN, BD	± 1	± 1	LSBmax	在 T_{min} 至 T_{max} 温度内, 保证AD7542KNBD单调性
增益误差 (使用内部反馈电阻)	± 0.3	± 0.3	%FSRmax ²	DAC寄存器用1111 1111加载。使用图7和图8的电路调节增益误差。
增益变化 $+25^\circ C$ 到 T_{min} 或 T_{max}		± 0.03	%FSRmax ²	
直流电源抑制 (增益)				
$AG_{ain}/\Delta V_{DD}$	± 0.003	± 0.01	%/%max	$V_{DD} = +4.5V$ 至 $+5V$
输出漏泄电流				
I_{OUT_1} (1脚)	± 50	± 200	nAmax	DAC寄存器加载到0000 0000 0000
I_{OUT_2} (2脚)	± 50	± 200	nAmax	DAC寄存器加载到1111 1111 1111
动态特性				
电流建立时间 ³	2	2	μS_{max}	到 $\frac{1}{2}$ LSB, OUT1负

乘法馈通误差 ³	2.5	2.5	mVppmax	$V_{REF} = +10V$, 10KHZ正弦波。	载电阻 10Ω 时,由 WR的F降沿 测量 DAC输出。
参考输入			KΩmin/ typmax		
输入阻抗(15脚)	8/15/25	8/15/25			
模拟输出					
输出电容 C_{OUT_1} ³	75	75	PFmax	DAC寄存器加大 到0000 0000 0000	
C_{OUT_1} ³	260	260	PFmax	DAC寄存器加载 到1111 1111 1111	
C_{OUT_2} ³	75	75	PFmax	DAC寄存器加载 到1111 1111 1111	
C_{OUT_2} ³	260	260	PFmax	DAC寄存器加载 到0000 0000 0000	
逻辑输入					
V_{1NH} (逻辑“高”电压)	+3.0	+3.0	Vmin		
V_{1N} (逻辑“低”电压)	+0.8	+0.8	Vmax	$V_{1N} = 0V$ 或 V_{DD}	
I_{1N} ⁵	/	/	$\mu Amax$		
C_{1N} (输入电容) ³	8	8	PFmax		
输入编码	12位单极性二进制或12位偏移二进制 (参阅图7或图8)数据是以4位字节 方式 装入到数据寄存器。				
开关特性 ⁶	(参阅图2)				
t_{AWS1}	200	400	nSmin	t_{AWS1} :地址有效一 写建立时间 (装入4 位数据寄存器)	
t_{AWS2}	120	400	nSmin	t_{AWS2} :地址有效一 写建立时间(装入12 位DAC寄存器)	
t_{AWH}	50	65	nSmin	t_{AWH} :地址一写保 持时间。	
t_{CWS1}	180	350	nSmin	t_{CWS1} :片选一写建	

t_{CS2}	60	150	nSmin	立时间(装入4位数据寄存器)
t_{CW1}	50	100	nSmin	t_{CW1} : 片选一写建立时间(装入12位DAC寄存器)
t_{WR}	120	220	nSmin	t_{WR} : 写脉冲宽度
t_{DS}	50	65	nSmin	t_{DS} : 数据建立时间(装入4位数据寄存器)
t_{DH}	50	65	nSmin	t_{DH} : 数据保持时间(装入4位数据寄存器)
t_{CLK}	200	300	nSmin	t_{CLK} : 最小CLEAR脉冲宽度
电源				
V_{DD} (电源电压)	+5	+5	V	作为特定的特性
I_{DD} (电源电流)	8	8	nA max	数字输入 = V_{INH} 或 V_{INL}

注：1. 温度范围如下：
AD7542 JN, KN: 0至 +70°C
AD7542 AD, BD: -25°C至 +85°C

2. FSR指满度。
3. 保证正确，但无须测试。
4. 各逻辑输入为MOS门，在25°C时典型输入电流小于1nA。
5. 为了保证一致性，在+25°C时，抽样测试。

上述技术规格可能有更动，恕不另行通知

绝对最大额定值（除另有说明外，均指 $T_A = +25^\circ\text{C}$ ）

V_{DD} 对 A_{GND}	OV, +7V	达 +70°C	670mW
V_{DD} 对 D_{GND}	OV, +7V	超过 +70°C 额定值 减小率	6mW/°C
A_{GND} 对 D_{GND}	V_{DD}	瓷陶封装(型号后缀字母D)	
D_{GND} 对 A_{GND}	V_{DD}	达 +75°C	450mW
数字输入对 D_{GND} 的电压 (脚4—11, 13)—0.3V, +15V		超过 +75°C 额定值 减小率	6mW/°C
		工作温度范围	

V_{P1N1}, V_{P1N2} 对 A_{GND}	-0.3V, +15V	商用塑料(JN, KN型)	0℃至+70℃
V_{REF} 对 A_{GND}	±25V	工业陶瓷(AD, BD型)	-25℃至+85℃
V_{REF} 对 A_{GND}	±25V	贮藏温度	-65℃至+150℃
功耗(封装)		焊接温度(焊接时间10秒)	+300℃
塑料封装(型号后缀字母N)			

术语

差分非线性 在任意两相邻码之间，差分非线性是测量的变化量和理想的1LSB的变化量的差值。在工作温度范围内，最大值规定为±1LSB的差分非线性确保单调性。

增益误差 DAC的满度输出电压与它的参考输入电压的比值称为增益。一块理想的AD7542可使增益为-4095/-4096。增益误差采用外部微调来调整，如图7和图8所示。

图1. 8085/A D7542接口图(存储器映射输出)

输出漏电流 输出漏电流是指当DAC寄存器加载到全“0”时，出现在输出OUT1端的电流，或者当DAC寄存器加载到全“1”时，出现在输出OUT2端的电流。

乘法馈通误差 当DAC寄存器加载到全“0”时，由于从参考电压 V_{REF} 端到输出OUT1端的电容馈通所造成的交流误差。

注意事项 AD7542为静电感应器件，虽然数控输入具有齐纳二极管保护；然而，对于没有连接到电路中的器件，在高能静电场的作用下，可能造成永久性损害。故不使用的器件必须把它插入可导电的泡沫材料中使其短路。注意，在器件取出之前，必须将保护泡沫对指定插座进行放电。

接口逻辑

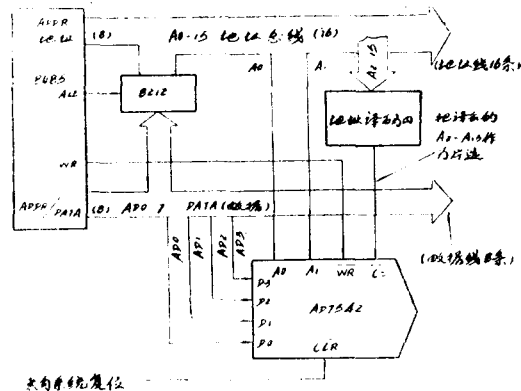
接口逻辑知识 AD7542设计成一种存储器——映射输出的器件。

图一示出了典型系统结构图。CS是译码器的器件地址，它是通过译出14个高阶地址位而得出的。 A_0 和 A_1 是AD7542的操作地址，它在AD7542内部译出，并指向期望的加载操作(即装入高字节、中字节、低字节或DAC寄存器)。表1给出AD7542的真值表。

所有数据加载操作与随机存取存储器RAM写周期相同，如图2所示。

另外，CLR输入使得AD7542 DAC寄存器异步清零为0000 0000 0000，当以单极性方式操作AD7542时(图7)，CLEAR使DAC寄存器输出为假0V。在双极性方式(图8)中，CLEAR使DAC输出达到 $-V_{REF}$ 。

总之：1. 用CLR输入时，AD7542 DAC寄存器可以异步清零。



2. 每一个AD7542需要4个存储单元。
3. 为了DAC工作需要，而执行四个基本加载操作(即装入低字节数据寄存器，中字节数据寄存器，高字节数据寄存器或12位DAC寄存器)中的任何一个，均通过对合适的地址单元进行存储“写”操作完成的。

表1

AD7542真值表

AD7542控制输入						AD7542 操作
A ₁	A ₀	CS ⁶	WR ⁶	CLR		
x	x	x	x	0	DAC12位寄存器复位到0000 0000 0000代码	
x	x	1	1	1	无操作，器件不作选择	
0	0	5	0	1	在如符号表示的上升沿时，装入低字节 ⁵ 数据寄存器	
0	0	0	5	1	用在D ₀ —D ₃ 中数据，装入适合的数据寄存器。	
0	1	5	0	1	在如符号表示的上升沿时，装入中字节 ⁵ 数据寄存器	
0	1	0	5	1		
1	0	5	0	1	在如符号表示的上升沿时，装入高字节 ⁵ 数据寄存器	
1	0	0	5	1		
1	1	0	0	1	用在低字节、中字节及高字节数据寄存器的数，装入12位DAC寄存器	
1	1	0	0	1		

注：1. “1”表示逻辑“高”

2. “0”表示逻辑“低”

3. “x”表示无关紧要

4. 5表示由“低”到“高”翻转

5. MSB→x x x x x x ←LSB

高字节

中字节

低字节

6. 虽然或者是CS或者是WR的上升沿，都对数据寄存器装入数据，由采用WR锁存数据以及用CS作为器件允许，则此时间就成为最佳。

表2.

管脚功能说明

管脚	助记符	功 能	管脚	助记符	功 能
1	OUT1	DAC电流输出	7	D ₀	数据输入(LSB)
		总线，一般接	8	CS	片选输入
		在运算放大器	9	WR	写输入
		虚地点上。	10	A ₀	地址总线输入
2	OUT2	DAC电流输出	11	A ₁	地址总线输入

		总线,一般接 在地端。	12	D _{GND}	数字地
3	A _{GND}	模数地	13	CLR	清除输入
4	D ₃	数据输入(MSB)	14	V _{DD}	+5V电源输入
5	D ₂	数据输入	15	V _{REF}	参考输入
6	D ₁	数据输入	16	R _{FB}	DAC反馈电阻

一般电路知识 AD7542是一种12位乘法数—模转换器，它由制作在同一片上的高稳定的薄膜R—2R阶梯电阻网路和12个N沟道电流开关组成。大多数应用只需附加一个输出运算放大器和一个电压参考或电流参考。

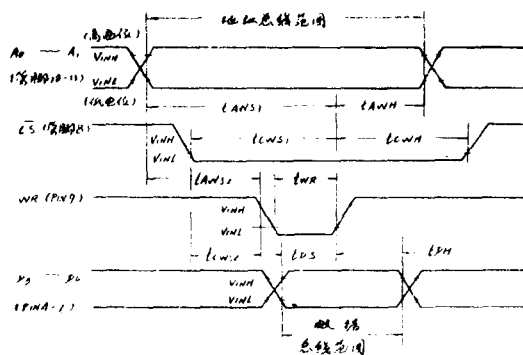


图2.“写”周期时序图

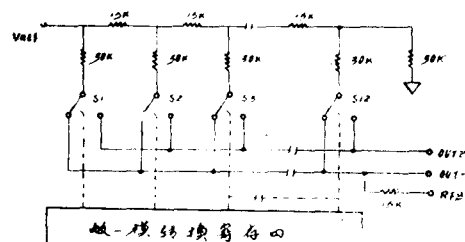


图3. AD7542功能图

图3画出了简化的D/A转换电路。由于使用了一个倒R—2R梯形电阻网路，二进制加权电流在输出OUT₁和输出OUT₂总线之间切换，并在每个梯形支路中维持一恒定电流且与开关状态无关。

图4绘出了其中一个电流开关，在V_{REF}端(图3所示)的输入电阻总是等于R_{LDR}(R_{LDR}是R/2R梯形电阻网路特征电阻，其值为“R”)。由于V_{REF}管脚的输入电阻R_{IN}是常数，故通过交流(AC)或具有正或负极性的直流(DC)的参考电压或参考电流可驱动参考端。(若采用电流源，那么建议用低温度系数的外接反馈电阻R_{FB}来确定比例系数)。

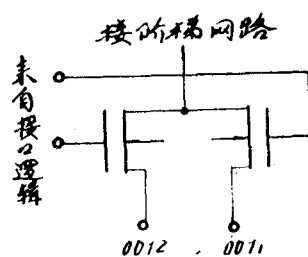


图4.N沟通电流控制开关

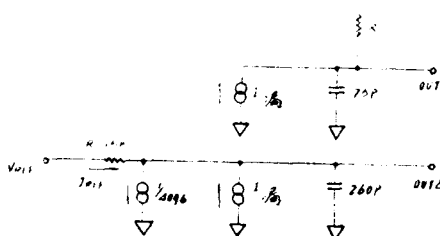


图5. 所有数字输入为“低”电位时, AD7542 DAC等效电路

等效电路分析 图5绘出了所有数字输入均为“低”电位的等效电路，图6给出了所有数字输入均为“高”电位的等效电路。图5中，当所有数字输入均为“低”电位时，参考电流与输出OUT2接通。电流源I漏是由表面与基底和结与基底的漏流形成的，而8/4096电流源表示通过R—2R梯形电阻网路上的终端电阻恒定为1位耗用电流。输出N沟道开关“接通”电容为260PF，如输出OUT2端所示。开关“断开”状态输出电容为75PF，如输出OUT1端所示。像图6所示的所有数字输入均为“高”电平的等效电路分析与图5相似；然而，这时开关“导通”状态是在输出OUT1端，因而260PF电容就在此端上。

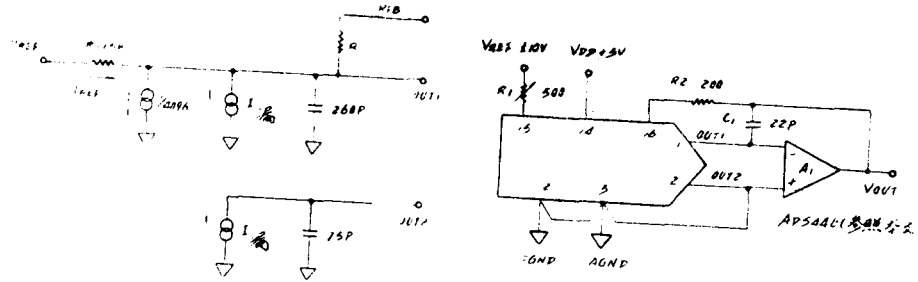


图6. 所有数字输入为“高”电位时，AD7542 DAC等效电路

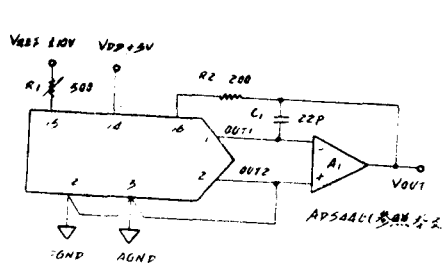
AD5742应用

单极性二进制工作方式（二象限乘法） 图7示出了单极性二进制（二象限乘法）操作所需要的模拟电路连接方式。为了简单起见，省略了逻辑输入。当用一个参考电压或电流（正极性或负极性）加在15脚时，这个电路就是单极性D/A转换器。当用一个交流参考电压或电流（不论是正极性或是负极性）时，电路成为二象限乘法器（数字控制衰减器），输入／输出的关系如表3所示。

R_1 提供满度微调能力（即把 DAC 寄存器加载到 1111 1111 1111，调节 R_1 以达到 $V_{OUT} = -V_{REF} (4095/4096)$ ）。用另一种方法，可以略去 R_1 和 R_2 ，而通过调整参考电压的大小来调节满度。

表3. 为图7电路的单极性二进制数码表

数一模转换寄存器中的二进制数			模拟输出 V_{OUT}
MSB	LSB		
1111	1111	1111	$-V_{REF} \left(\frac{4095}{4095} \right)$
1000	0000	0000	$-V_{REF} \left(\frac{2048}{4096} \right) = -\frac{1}{2} V_{REF}$
0000	0000	0000	$-V_{REF} \left(\frac{1}{4096} \right)$
0000	0000	0000	0V



注：为简单起见，略去其逻辑输入

图7. 单极性二进制工作(方式二象限乘法)

当采用高速放大器时，为使放大器稳定，可能需用相位补偿电容 C_1 (10~25PF)。
(采用 C_1 是为了抵消由DAC内部反馈电阻和在OUT1的输出电容而形成的极点)。

为了形成 V_{OUT} 上的 $V_{os} \leq$ 电压分辨率的10%，必须挑选并进行微调放大器 A_1 。另外，在所用温度范围内，放大器将出现一个低的偏流(偏流在 V_{OUT} 产生输出偏移等于 I_B 乘以DAC的反馈电阻，此电阻一般为15KΩ)。AD7542是一种具有低失调的高速注入场效应的晶体管输入运算放大器，其 V_{os} 厂家已调整好。

双极性工作方式(四象限乘法) 图8和表4说明双极性工作方式的电路和数码关系。当用直流(正极性或负极性)参考电压或电流时，电路提供偏移二进制操作，当用交流参考时，11位最低位构成交流参考数控衰减，而最高位构成极性控制。

当DAC寄存器加载到0000 0000 0000时，调节 R_1 以达到 $V_{OUT} = 0V$ (另一方法，人们可以省略 R_1 和 R_2 而通过调节 R_3 与 R_4 的比值以达到 $V_{OUT} = 0V$)。

满度调整可通过调节 V_{REF} 的幅度或者通

表4.图8偏移二进制双极性数码表

在数一模转换寄存器中的二进制数			模拟输出 V_{os}
MSB		LSB	
1111	1111	1111	$+ V_{REF} \left(\frac{2047}{2048} \right)$
1000	0000	0001	$+ V_{REF} \left(-\frac{1}{2048} \right)$
1000	0000	0000	0V
0111	1011	1111	$- V_{REF} \left(\frac{1}{2048} \right)$
0000	0000	0000	$- V_{REF} \left(-\frac{2048}{2048} \right)$

过改变 R_6 值的大小来实现。

如在单极性工作方式中一样，为了有低的 V_{os} 和低的 I_B ，必须对 A_1 进行挑选。为了匹配和跟踪，必须对 R_3 、 R_4 和 R_5 进行挑选。 $2R_3$ 与 R_4 的失配不但出现失调而且会产生满度误差， R_5 与 R_4 或 $2R_3$ 的失配则产生满度误差。为使工作稳定，还需用相位补偿电容 C_1 (10~25PF)。

应用提示 AD7542是一种为系统接口而设计的精密12位乘法数一模转换器。为了保证系统性能与AD7542技术参数一致性，必须注意以下几点：

1. 一般接地安排：

AD7542的 A_{GND} 和 D_{GND} 之间的电压差会引起精度下降(地与地之间的直流电压差

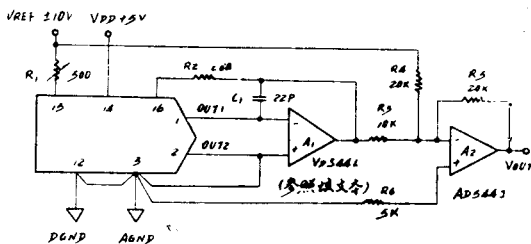


图8. 双极性工作方式(四象限乘法)

引入增益误差。地与地之间交流电压差或者瞬变电压差会使噪声进入模拟输出）。保证在 A_{GND} 和 D_{GND} 端电压相等的最简单的方法是 AD7542 的 A_{GND} 和 D_{GND} 连接在一起。在 A_{GND} 与 D_{GND} 于底板纵横交叉连结的更加复杂的系统中，建议在 AD7542 的 A_{GND} 与 D_{GND} 的管脚间用二极管背靠背的连接起来（可用 1N914 或与此相当的二极管）。

2. 输出放大器失调

CMOS 数一模转换器呈现一代码有关的输出电阻，而输出电阻反过来又引起代码有关的放大器噪声增

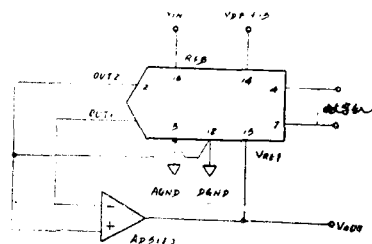


图9.除法器(数控增益)

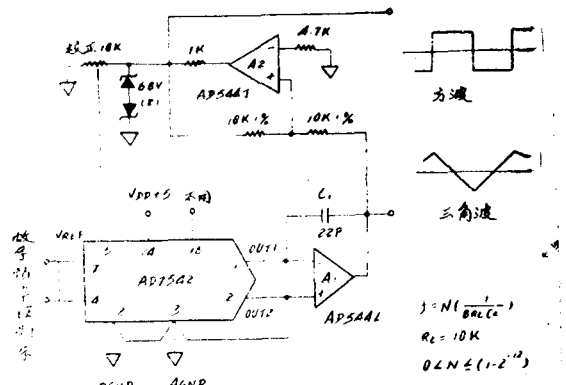


图10.可编程序函数发生器

$$V_{OUT} = -\frac{V_{IN}}{D} \text{ 其中:}$$

$$D = \frac{BJT_1}{2^1} + \frac{BJT_2}{2^2} + \dots + \frac{BJT_{12}}{2^{12}}$$

$$\frac{1}{4096} \leq D \leq \frac{4095}{4096}$$

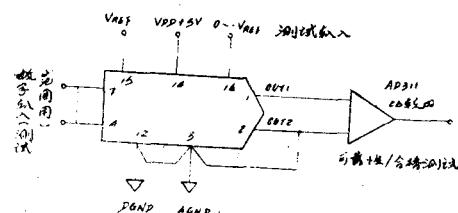


图11.数字可编程序极限检波器

益，其影响是在放大器输出产生幅度为 $0.67V_{os}$ (V_{os} 是放大器输入失调电压) 的差分非线性项，这个差分非线性项加到 R/2R 梯形网络的差分非线性。为了维持单调性运行，建议在所用温度范围内，放大器的 V_{os} 不得大于 DAC 输出分辨率的 10% (输出分辨率 = $V_{REF} (2^{-n})$ ，其中: n 是使用的位数)。

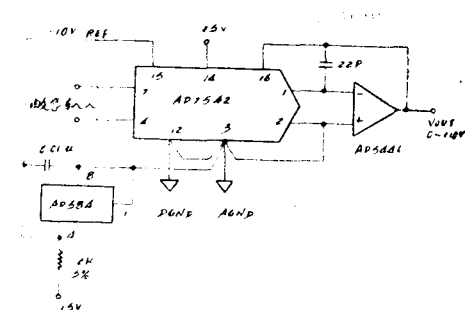


图12.0~+10V固定参考数一模转换器

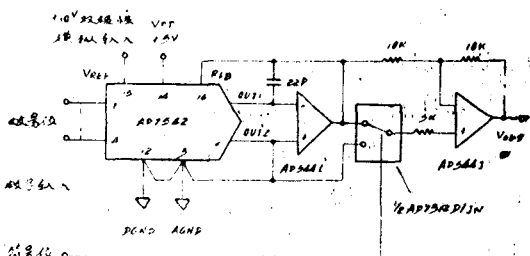


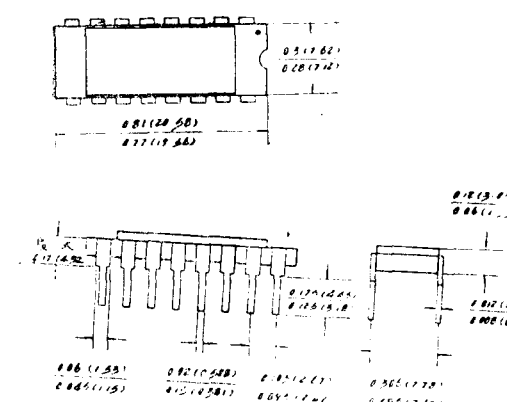
图13.12位+符号乘法数一模转换器
(输出分辨率 = $V_{REF} (2^{-n})$ ，其中: n 是使

3. 高频问题

AD7542输出电容连同放大器反馈电阻一起工作，则对开环响应加上一个极点。如寄生 极点频率小于放大器0 dB的交界频率，不仅降低闭环带宽，而且可产生衰减振荡 即振荡。通过加一相位补偿电容与反馈电阻并联可以恢复其稳定性。

外形尺寸 尺寸电英吋和毫米表示

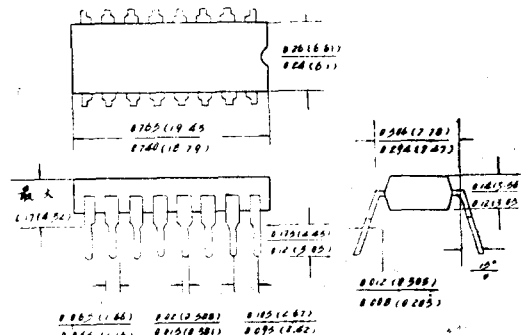
16脚双列直插式塑料封装



1.1号引脚由点和缺口识别

2.所有引脚是镀焊料或者镀锡的铁钴镍合金或42号合金。

16脚双列直插式陶瓷封装



2.1号引脚由点和缺口识别

2.所有引脚是镀金(50μm)的铁钴镍合金或42号合金。

高性能12位集成电路数—模转换器

AD DAC85

特点 作为标准DAC85的改进型替代品，高可靠性的3—芯片结构；低功耗；用激光修正达到高精度：-55℃至+125℃，最大非线性度为±3/4LSB (AD DAC 85 MIL)，具有高稳定度、大输出电流的掩膜齐纳参考；共气式输出放大器（电压型）；24脚侧面铜制双列直插式陶瓷封装。

产品说明 AD DAC85是一种高性能的12位数—模转换器。它由匹配好的双极型开关，精密电阻网络，低漂移、高稳定性的电压参考和一个可供选用的输出放大器组成。输入可选择TTL兼容的12位二进制补码(CBI)或者3位的BCD输入码(CCD)。输出可选用电流输出或电压方式。输出电压式有±2.5V，±5V，±10V，0至5V及0至10V五种输出电压；电流输出式有±1mA和0至-2mA两种输出电流。

先进的电路设计和精密的处理工艺，使其主要性能优于常规的普通的体积大标准DAC85器件。革新型的3—芯片结构把可靠性提高了四倍⁽¹⁾。AD DAC85实现了全差分。抗饱和的精密电流开关单元结构*，从而大大提高对电源变化的不敏感性。这种

相同结构也减小了当不同bit数切换时，由于器件热瞬态而造成的非线性；几乎所有关键元件都在恒定功耗下工作。采用高分辨率激光修整高稳定的SiCr薄膜电阻，从而降低器件的差分非线性误差。一个低噪声而高稳定的掩膜齐纳二极管用以提供良好的长期稳定性、大的外电流负载容量及温度循环特性的参考电源，使它可与最好的分立齐纳参考相媲美。

在可靠性及其整个温度范围内的性能作为重要参数的应用场合下，建议采用全12位AD DAC85型数一模转换器。

* 参见专利号：3, 978, 475, RE28, 633; 4, 020, 486; 3,747, 088; 3,803, 590, 3, 961, 326。

(1)计算的细节，请参看应用说明，“AD DAC85可靠性预测”。

产品要点 1. AD DAC85由于其性能显著提高，可以直接取代同类型其他器件。

2.3 - 芯片的集成结构，使AD DAC85成为性能和可靠性为主要考虑因素的应用场合之最佳选择器件。

3. 在不重新对系统进行设计的情况下，提高系统性能是可能的。

4. AD DAC85提供的最大非线性误差为±0.012%，最大增益漂移为±20PPm/℃。双极性接法下的总精度漂移最大值为±10PPm/℃。

5. 进制梯形网络温度系数很低，保证所有的AD DAC85器件在整个规定的温度范围内均有单调。

6. 由于需要的功耗降低，从而改善了稳定性并缩短其预热时间。

7. 精密的掩膜齐纳参考，可向外部提供高达2.5mA电流作为他用。

8. BCD码和二进制码两种输入格式，均可得到电压输出方式或电流输出方式。

技术规格

(除另有说明外，均指常温 +25℃)

型 号	AD DAC85C	AD DAC85C	AD DAC85	AD DAC85	AD DAC85LD	AD DAC 85ML	单 位
数字输入	CBI	CCD	CBI	CCD	CBI	CBI	
分辨率	12		12		12	12	bit 数位
逻辑电平 (TTL兼容)							
逻辑“1”(在 + 1μA时)	+2Vdcmin	*	*	*	*	*	V
	+5.5Vdcmax	*	*	*	*	*	V
逻辑“0”(在)							

$-100\mu A$ 时)	0Vdcmin +0.8Vdcmax	*	*	*	*	*	*	V V
转换特性精度								
线性误差								
+ 25°C (max)	$\pm \frac{1}{2}$	$\pm \frac{1}{2}$	$\pm \frac{1}{2}$	$\pm \frac{1}{2}$	$\pm \frac{1}{2}$	$\pm \frac{1}{2}$	$\pm \frac{1}{2}$	LSB
0至 + 70°C (max)	$\pm \frac{1}{2}$	$\pm \frac{1}{2}$	-	-	-	-	-	LSB
- 25°C 至 + 85°C (max)	-	-	$\pm \frac{1}{2}$	LSB				
- 55°C 至 + 125°C (max)	-	-	-	-	-	-	$\pm \frac{1}{4}$	LSB
差分线性误差	$\pm \frac{1}{2}$	*	*	*	*	*	*	LSB
增益误差 ¹	± 0.1	*	*	*	*	*	*	%
偏置误差 ¹	± 0.05	*	*	*	*	*	*	% FSR
确保单调性的 最小温度范围	0至 + 70	0至 + 70	- 25至 + 85	- 55至 + 125				
漂移 ⁽³⁾ 增益								
漂移 0至 + 70°C (max)	± 20	± 20	± 20	± 20	± 10	± 20	± 20	PPm/ °C
- 25°C 至 + 85°C (max)	-	-	± 20	± 20	± 10	± 20	± 20	PPm/ °C
- 55°C 至 + 125°C (max)	-	-	-	-	-	± 20	± 20	PPm/ °C
偏置漂移单极 性 0至 + 70°C	± 1	± 1	-	-	-	-	-	PPm FSR/ °C
- 25°C 至 + 85°C	-	-	± 1	PPm FSR/ °C				
- 55°C 至 + 125°C	-	-	-	-	-	-	± 2	PPm FSR/ °C
双极性 0至 + 70°C (max)	± 10	-	-	-	-	-	-	PPm FSR/ °C
- 25°C 至 + 85°C (max)	-	-	± 10	-	± 5	± 10	± 10	PPm RSR/ °C
- 55°C 至 + 125°C (max)	-	-	-	-	-	± 10	± 10	PPm RSR/ °C

转换速率									
电压型									
对满度变化, 达到±0.01%									
FSR 的建立 时间									
反馈电阻为 10K	5	*	*	*	*	*	*	*	μS
反馈电阻为 5K	3	*	*	*	*	*	*	*	μS
对1LSB达 ±0.01FSR									
的建立时间 变化率	1.5	*	*	*	*	*	*	*	μS
20	*	*	*	*	*	*	*	V/μS	
电流型									
对满度变化, 达±0.01%									
FSR									
负载电阻为10 ~100Ω	300	*	*	*	*	*	*	*	nS
负载电阻为 1KΩ	1	*	*	*	*	*	*	*	μS
模拟输出电压 型范围									
- CB1器件	±2.5, ±5, ±10, +5, +10	*	*	*	*	*	*	*	V
CCD器件	+10	*	*	*	*	*	*	*	V
输出电流 (min)	±5	*	*	*	*	*	*	*	mA
输出阻抗(dc)	0.05	*	*	*	*	*	*	*	Ω
电流型输出范 围									
输出阻抗一双 极性	2	*	*	*	*	*	*	*	KΩ
一单极性	6.65	*	*	*	*	*	*	*	KΩ
依从性	-2.5, +10.5	*	*	*	*	*	*	*	V